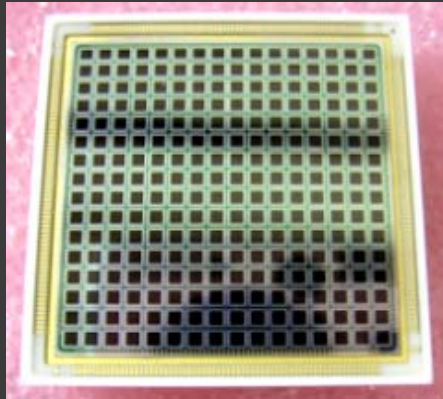


# Development of a low-noise analog front-end ASIC for APD-PET detectors

2008.9.4 PSD8@University of Glasgow



256 ch APD-array



8 ch Analog ASIC

Makoto Koizumi (Tokyo Tech)

J. Kataoka, S. Tanaka, H. Ishibashi, N. Kawai (Tokyo Tech)

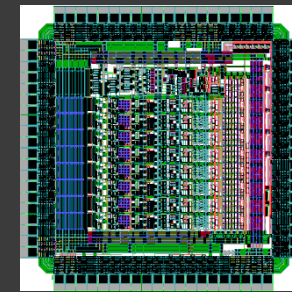
H. Ikeda (JAXA)

Y. Ishikawa, N. Kawabata, Y. Matsunaga, K. Shimizu (Hamamatsu Photonics)

# Outline

## ■ Development and evaluation of 8-channel ASIC (ver.1)

- Introduction
- Circuit Architecture
- Performance



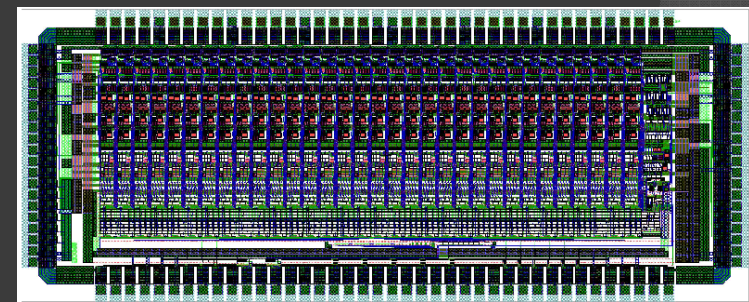
Ver.1  
8ch



## ■ Future prospects

- 32-channel ASIC (ver.2)
- Mobile PET unit

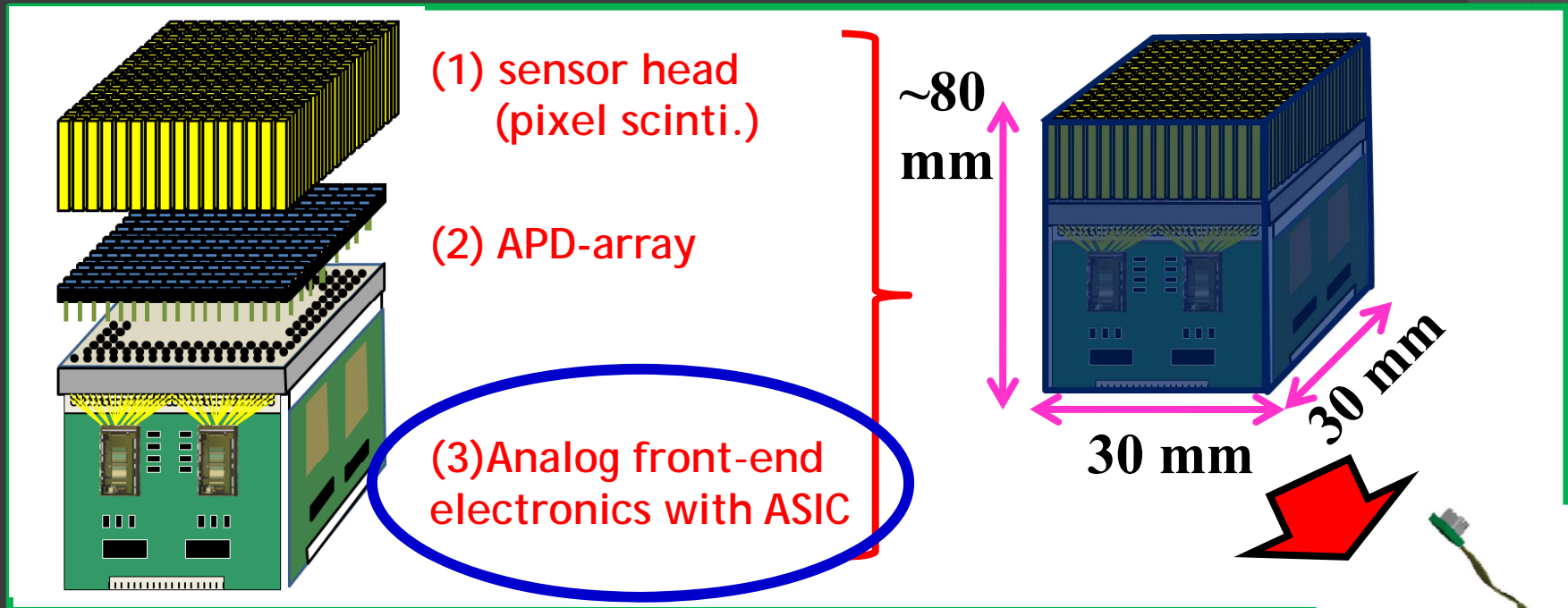
## ■ Conclusion



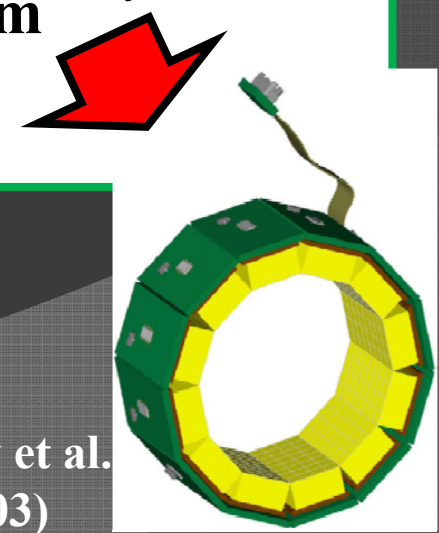
Ver.2 32ch

# Introduction

We are now developing high spatial resolution, low-cost and multipurpose next generation PET detectors by using APD-arrays.



- ✓ Flexible, low-cost mobile PET w/ sub-mm resol.
- ✓ Application to MRI/PET and TOF-PET.



Woody et al.  
(2003)

# Introduction

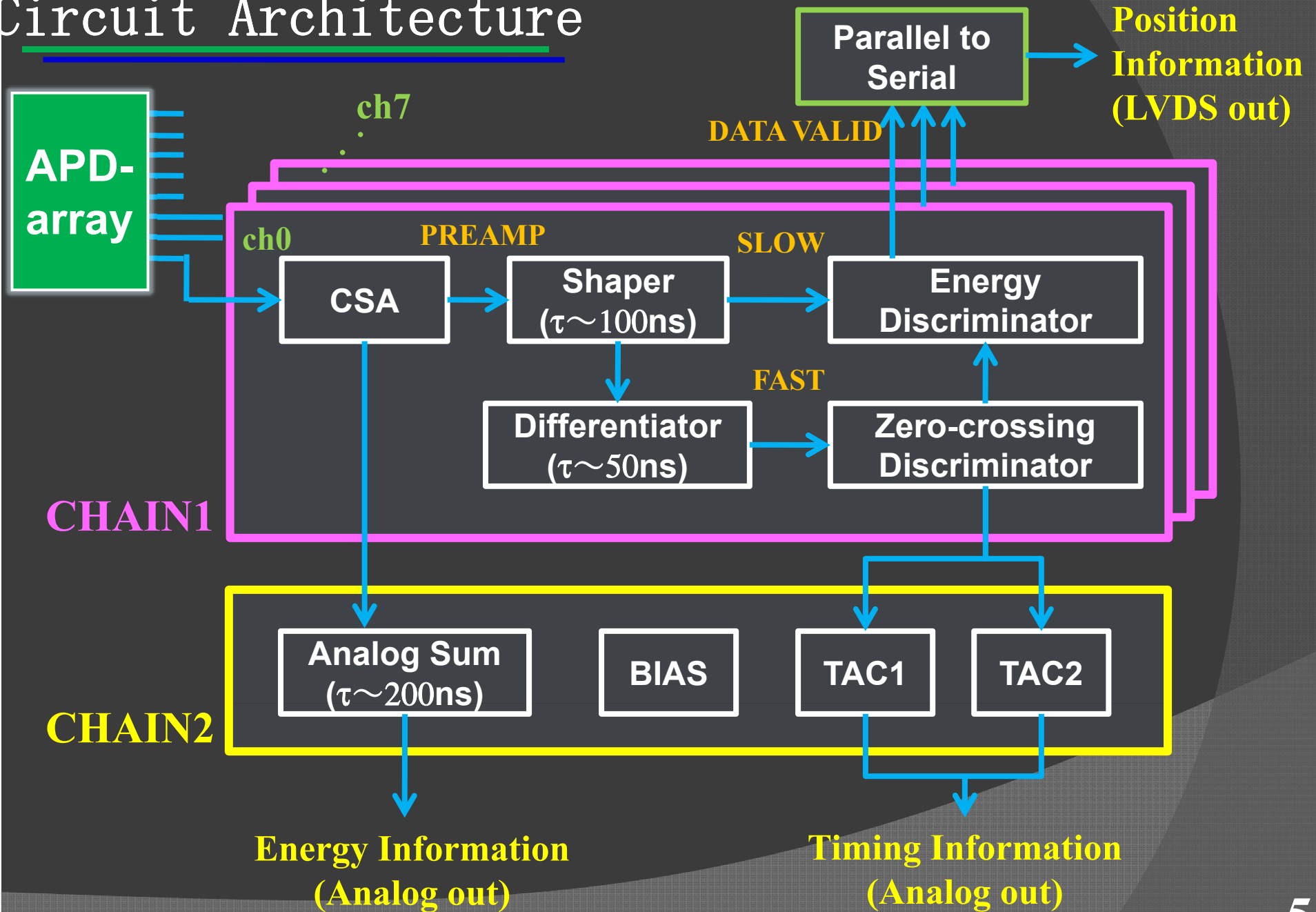
## Requirements for APD-PET front-end electronics

- Simultaneous processing of **multiple channels** ( $> 8$ -channel)
- **CSA gain** optimized to APD ( $\sim 50$  times)
- **Fast Shaping time** optimized to decay time of LYSO ( $\sim 40$ ns)
- **Time-of-Flight** capability ( $< 1$  ns)
- **High energy resolution**
- **Low-noise** and **low-power** consumption



**We have developed an analog front-end ASIC which meets these specifications in cooperation with JAXA.**

# Circuit Architecture



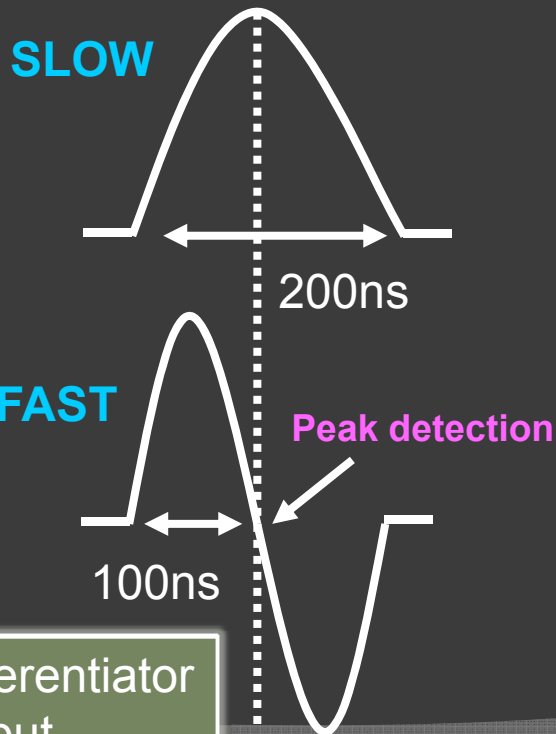
# Zero-crossing method

It is very important to obtain **true** hit timing information with various events for Time-of-Flight based PET



Apply the most simple **zero-crossing method**

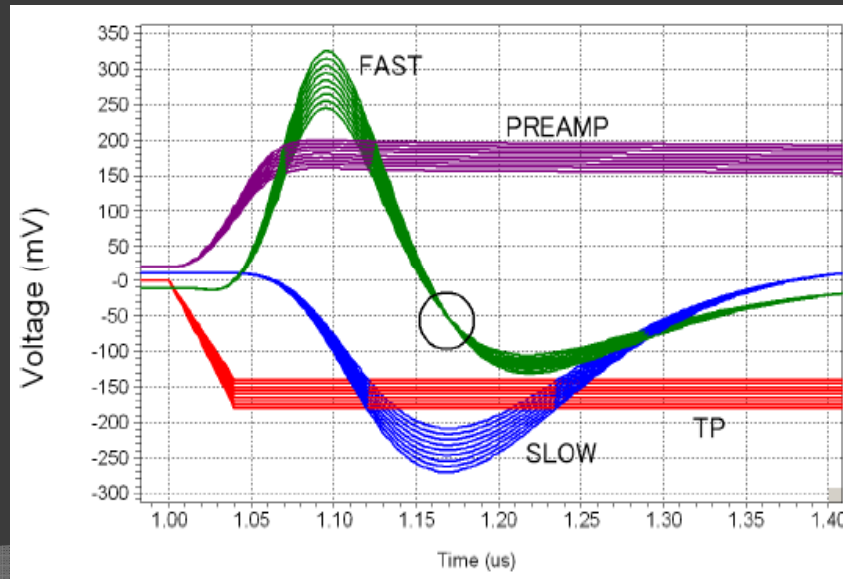
Shaper output



Differentiator output

## Zero-crossing method

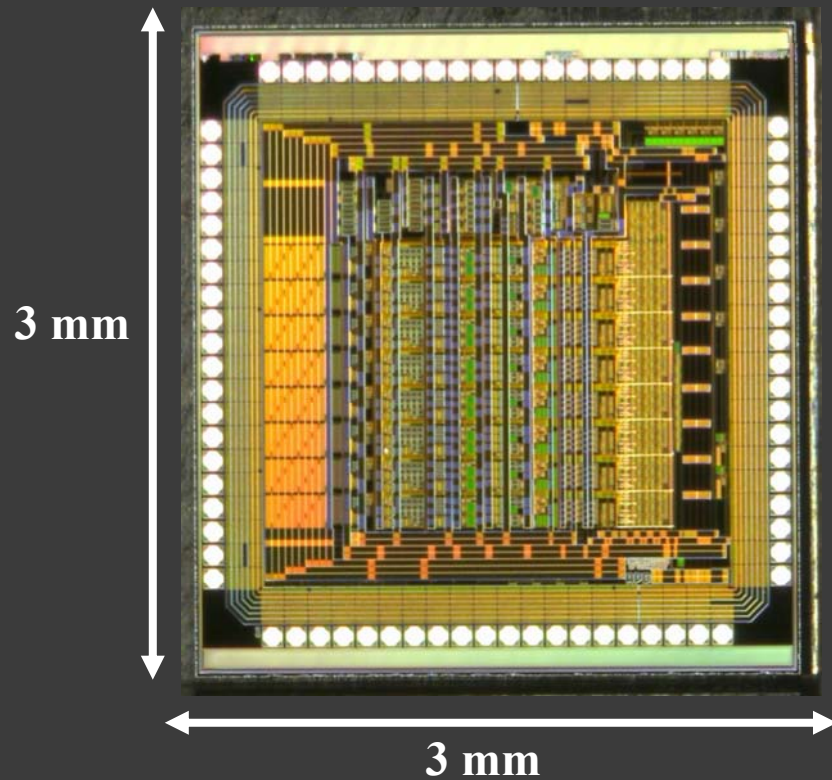
1. **SLOW** reaches to signal peak
2. Its differential signal **FAST** crosses zero point
3. Zero-crossing comparator turns on to start TACs



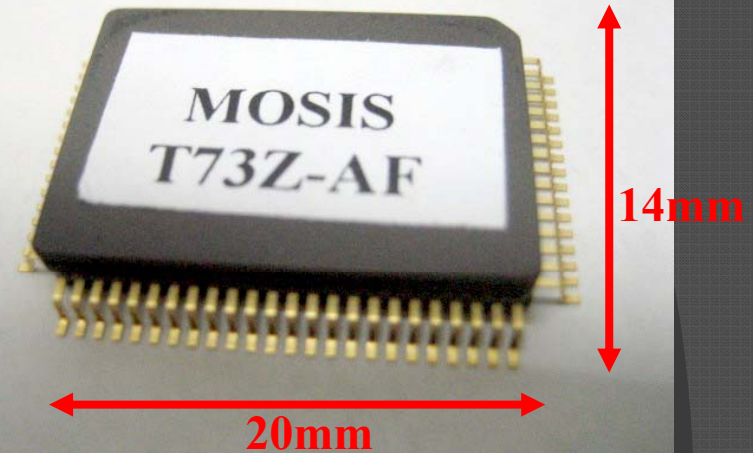
Time walk within **600 ps** was expected with **511keV ± 13%**



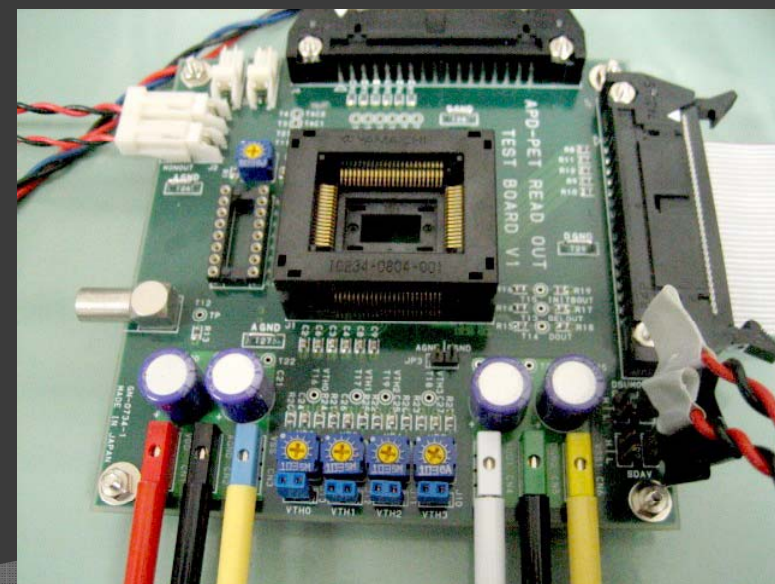
2007/5/29 : Completed



80-pin Ceramic Package

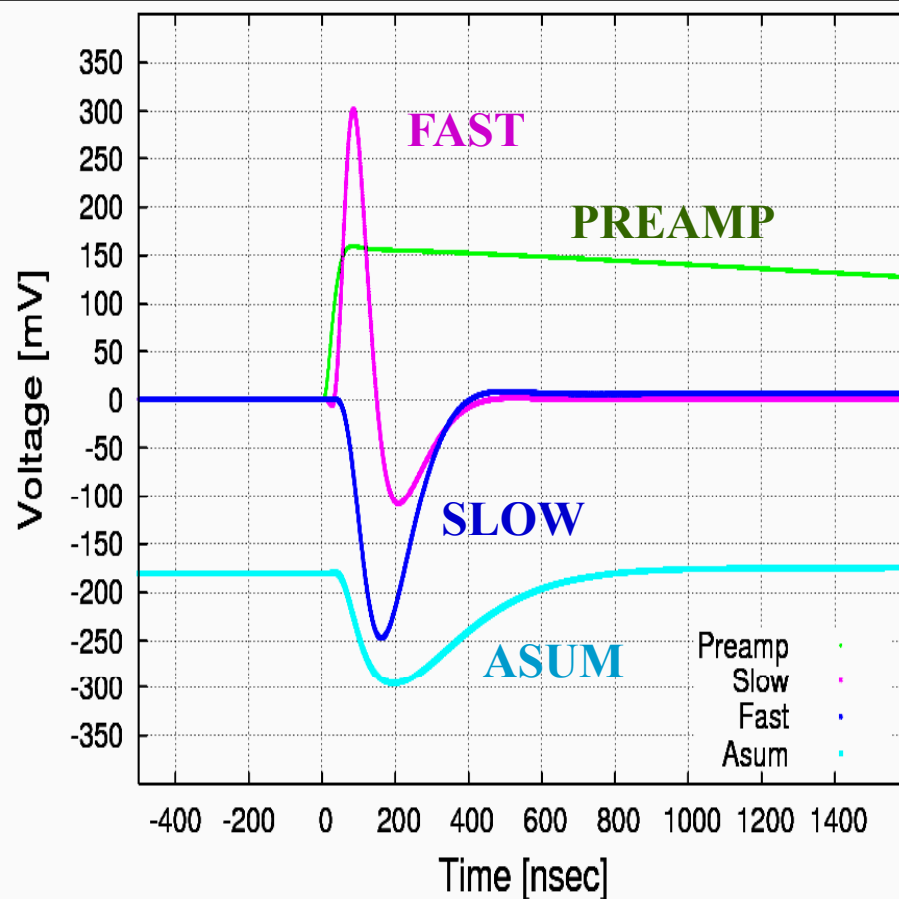


- Process : **TSMC 0.35 $\mu$ m CMOS**
- Chip size : **3mm  $\times$  3mm**
- Package : **80pin Ceramic QFP**
- Number of channels : **8ch**
- Power consumption: **55mW**  
(**6.9mW/ch**)

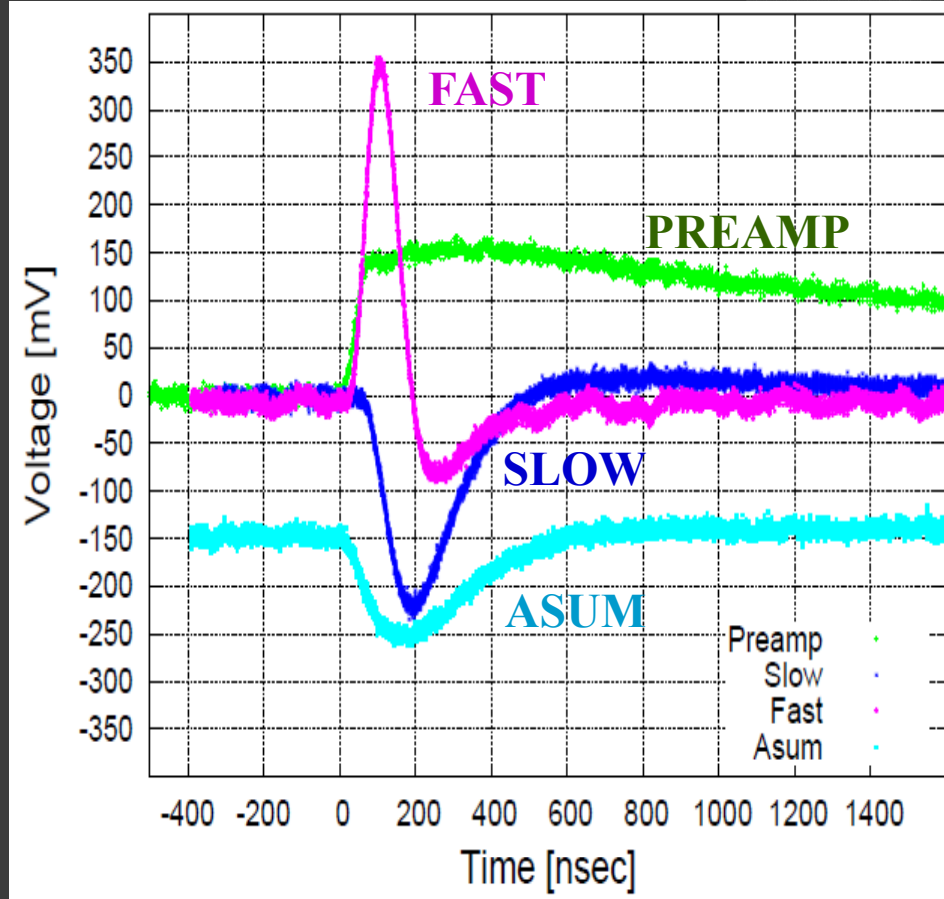


Testing board

## Simulation



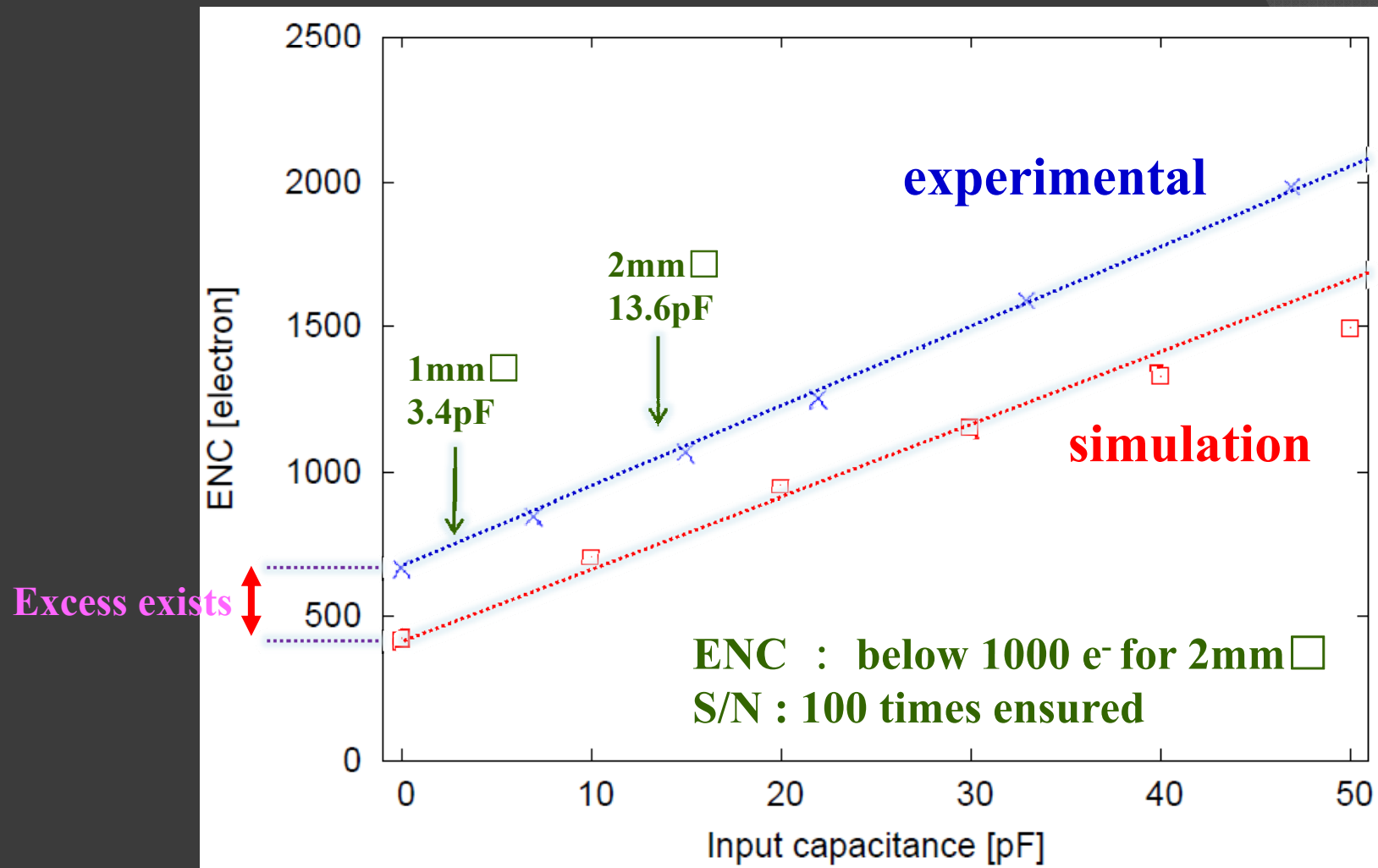
## Experimental



- Experimental waveforms were **consistent with simulation results**.
- Gain dispersion and offset voltages were **within adjustable ranges**.

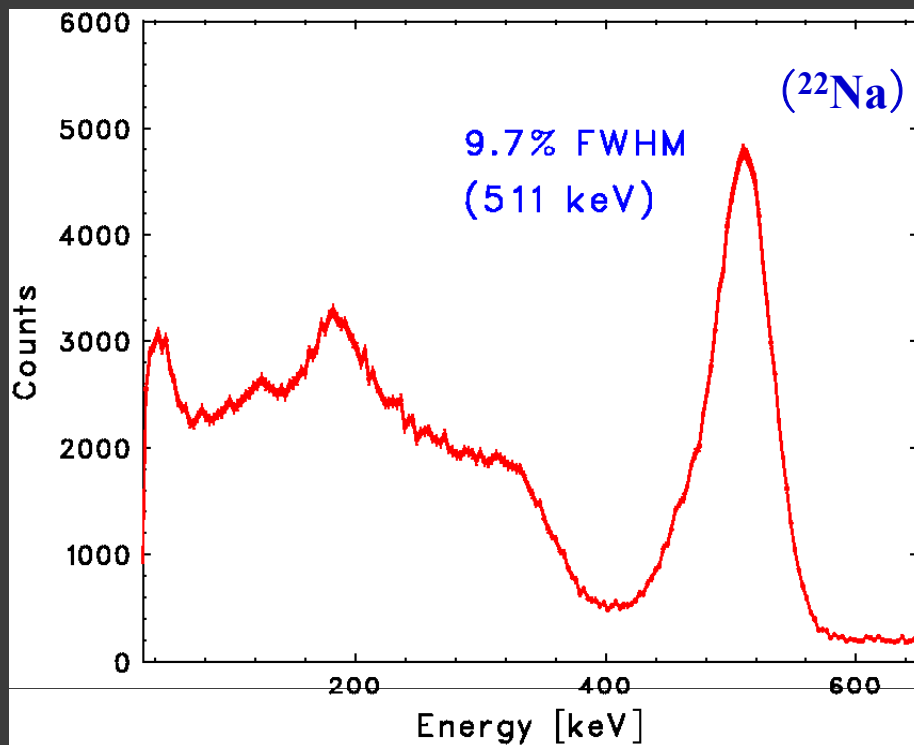
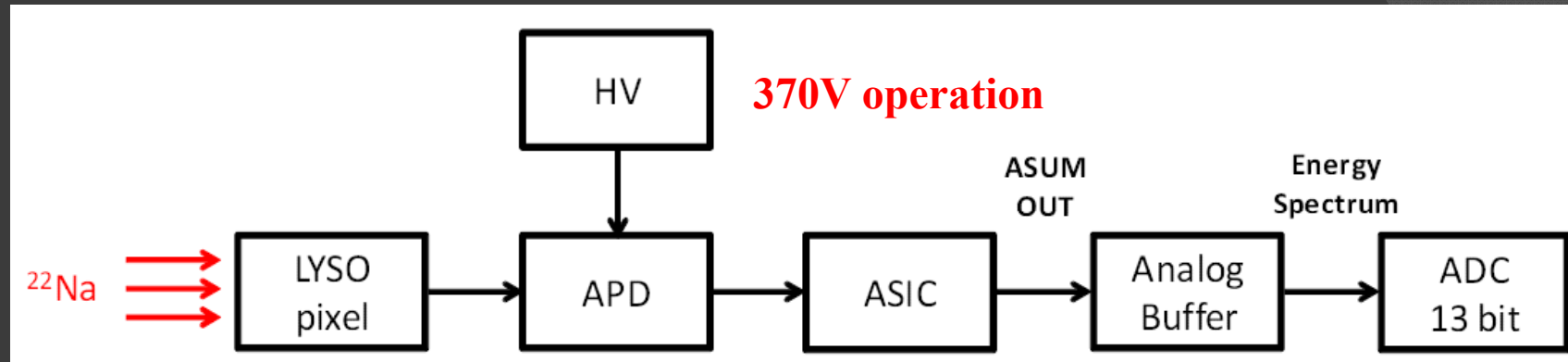


# Experimental results : Noise performance



- Equivalent Noise Charge (ENC) :  $600 e^- + 28 e^- / pF$  (RMS)
- Certain **excess exists** between experimental and simulation results.  
⇒ It might be the floating capacitance of a relatively large package.

# Experimental results : Energy resolution



LYSO  
2mm $\square$



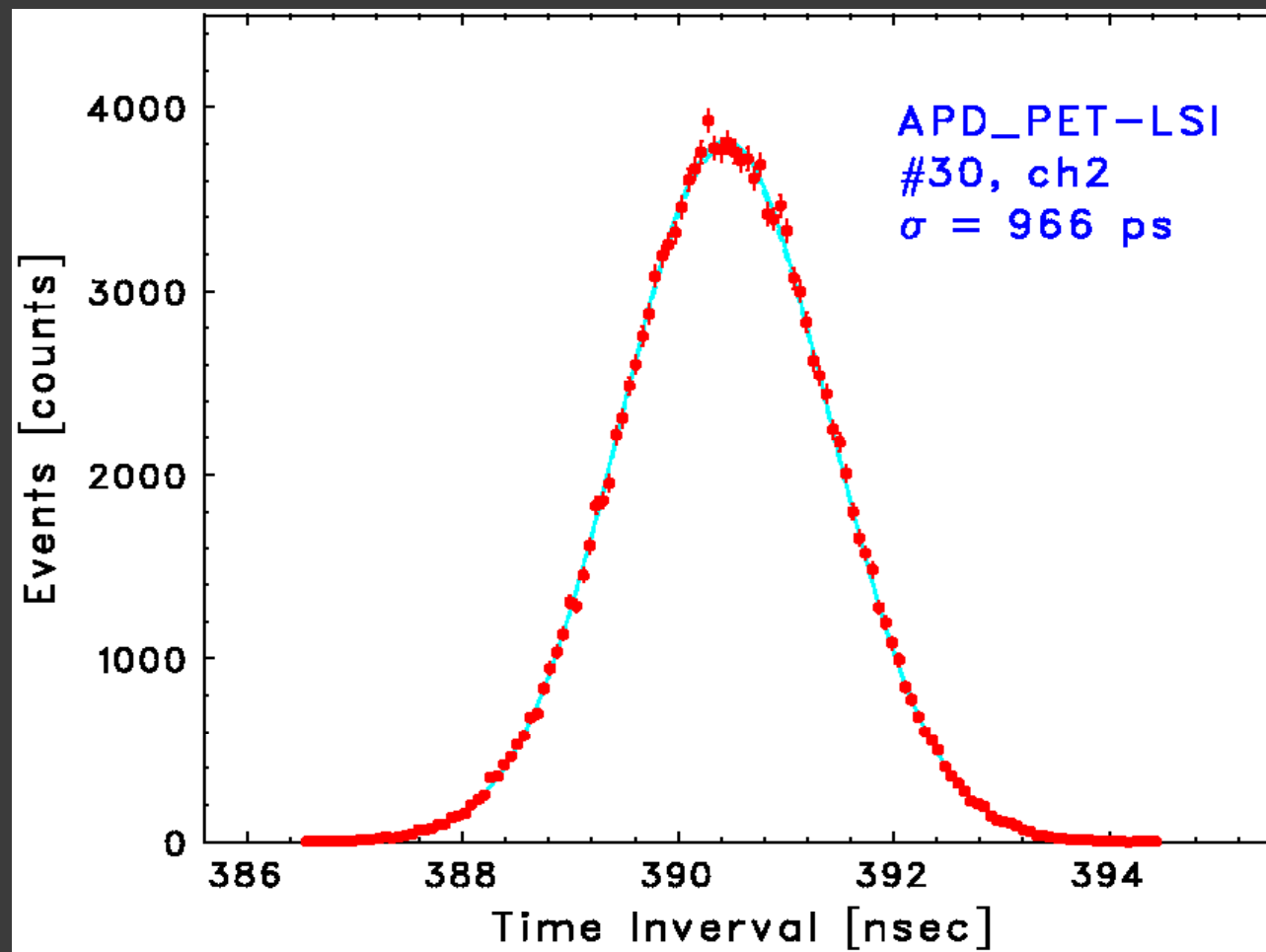
APD  
2mm $\square$



TIPPET08  
No.30\_ch2

- Resolution : 9.7 % (FWHM) @511keV  
⇒ Sufficient performance for APD-PET

# Experimental results : Time resolution



Time Resolution : **970 psec** (RMS)

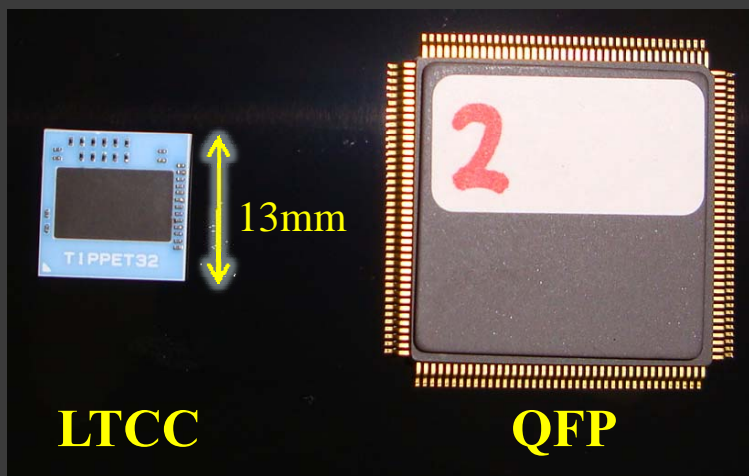
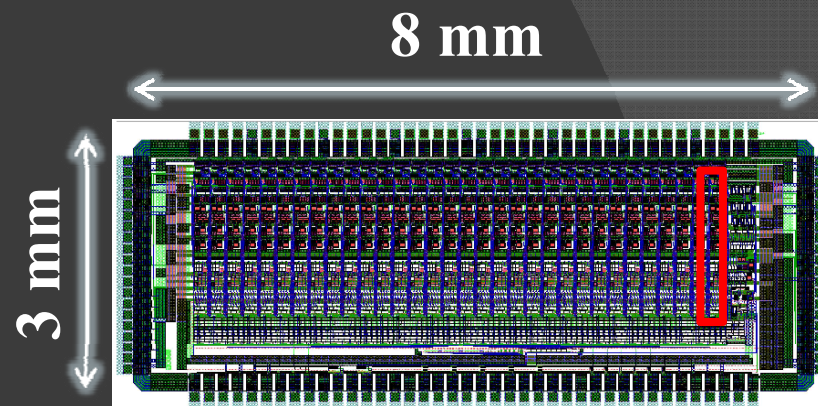
@0pF

⇒ achieved by simple zero-cross method.

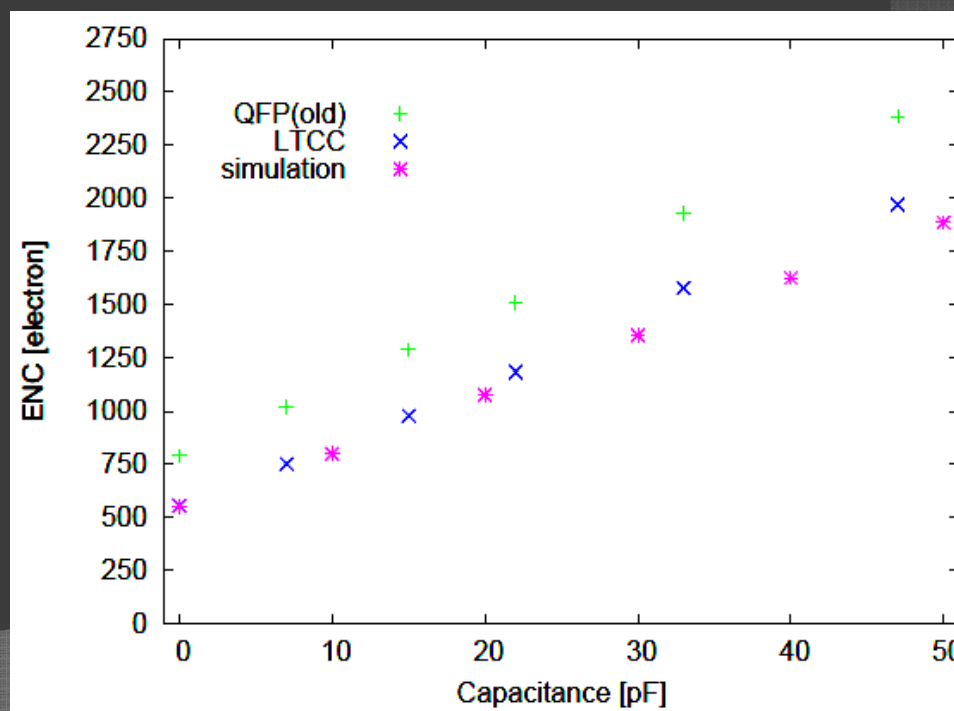
# 2nd version ASIC “TIPPET32”

## Main differences

- Number of channels : 8 ch → 32 ch
- Order of the shaper : 2 nd → 3 rd
- Time resolution : 970 ps → 570 ps
- Package : QFP → LTCC
- Polo-Zero-Cancellation (PZC)
- Priority chain encoder



Low Temperature Co-fired  
Ceramics package



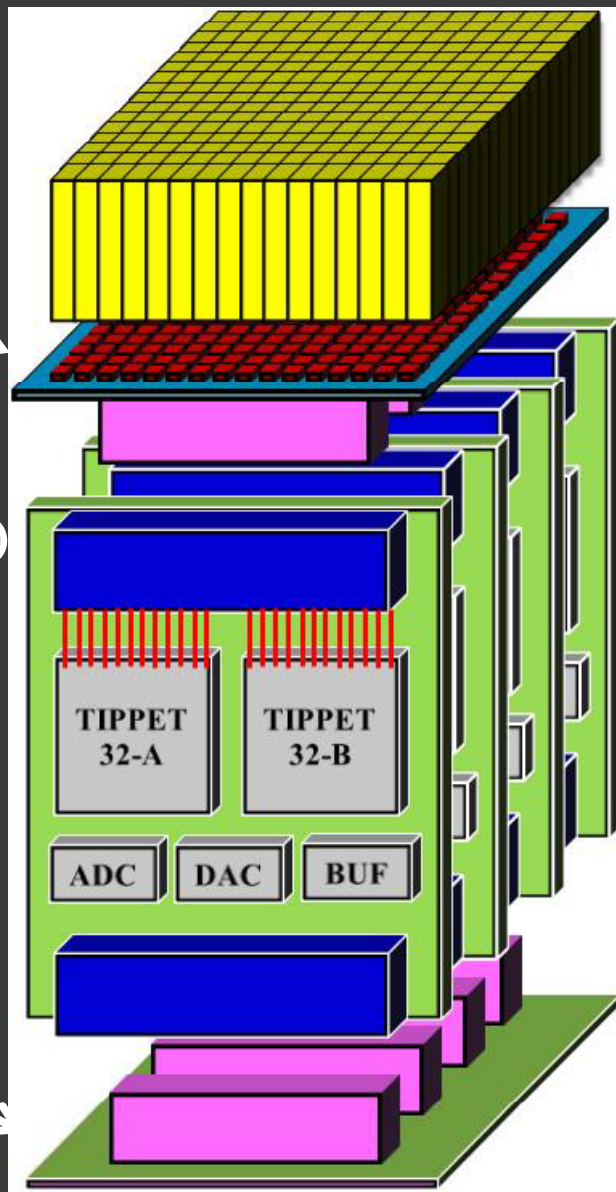
# Mobile APD-PET unit

LYSO-array

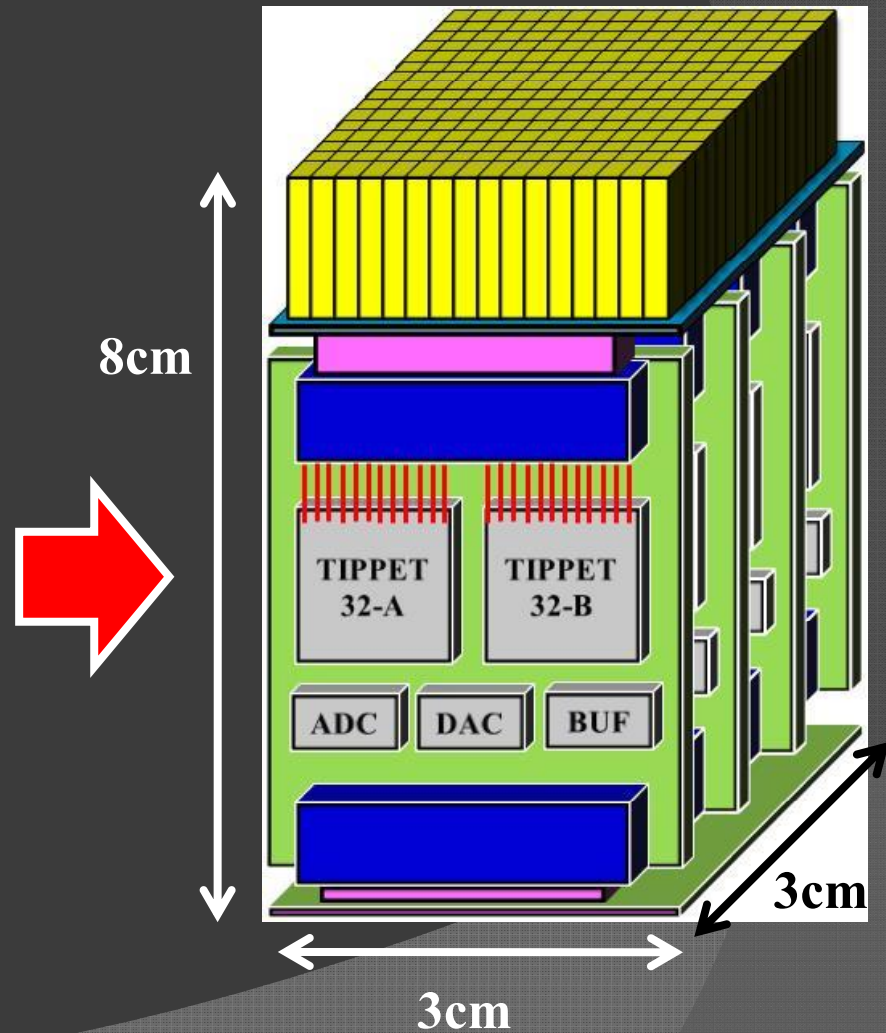
APD-array

Front-end Card (FEC)  
× 4

Control Card (CC)  
× 1



All front-end processing are covered  
⇒ It can be connected flexibly !!





**Our goal is to realize a high-resolution, low-cost and multipurpose next-generation PET detectors.**

## TIPPET08 (1st version)

- We manufactured 8-channel analog ASIC optimized to APD
- Good energy resolution of **9.7% (FWHM) @ 511 keV with APD**
- Good time resolution of **970 ps (RMS) @0pF**
- Low-noise of **600 e<sup>-</sup> + 28 e<sup>-</sup> / pF** with low-power of **6.9 mW/ch.**

## TIPPET32 (2nd version)

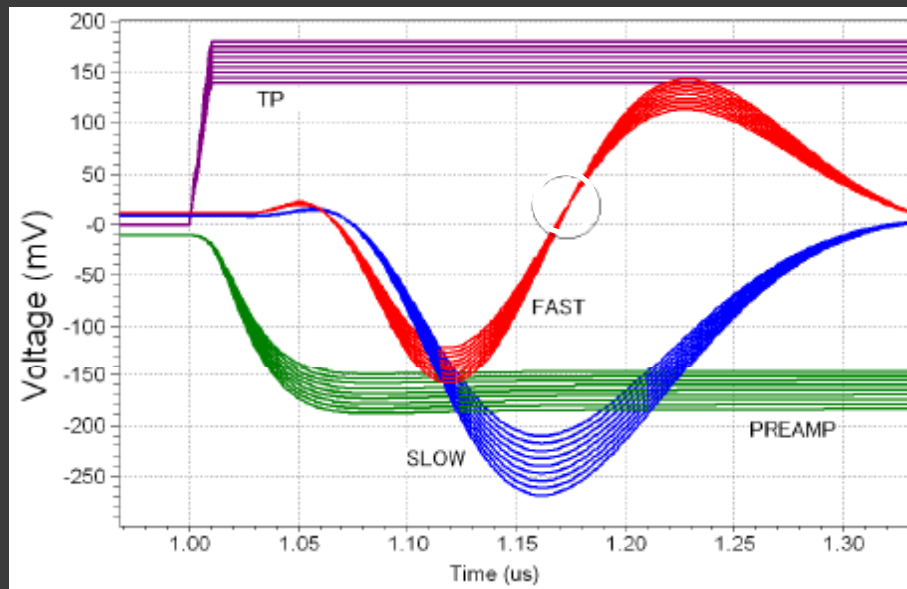
- We are now developing and evaluating 32-channel 2nd version ASIC
- Good time resolution of **570 ps (RMS) @0pF**
- Low-noise of **560 e<sup>-</sup> + 30 e<sup>-</sup> / pF** with low-power of **6.0 mW/ch.**

**We plan to evaluate spatial resolution with one-pair unit**

**Thank you !**

BACKUP

# 2nd version ASIC “TIPPET32”



Fluctuation of zero-cross point ( $511\text{keV} \pm 10\%$ )

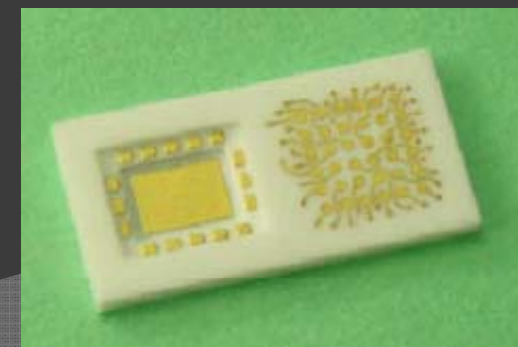
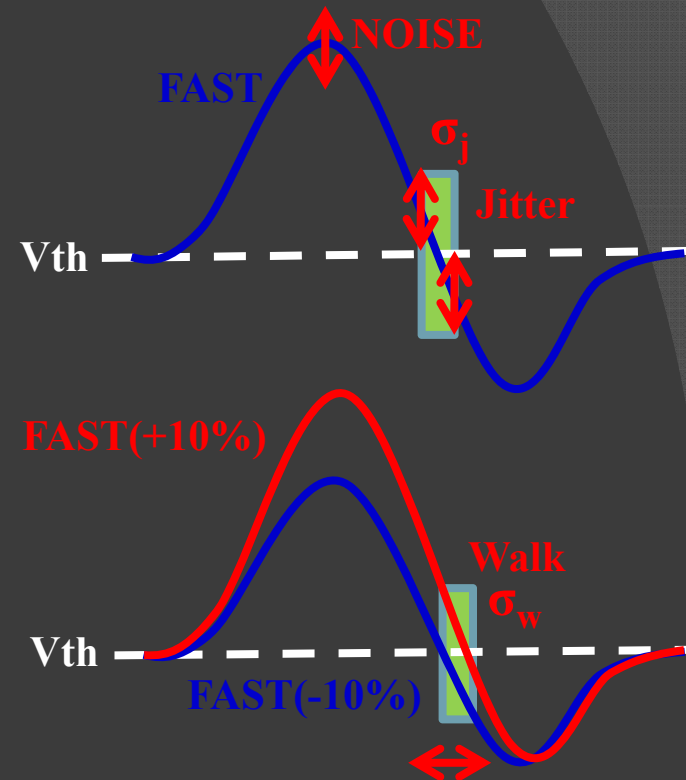
■ 8ch (ver.1) → multiplied to **32 ch** (ver.2)

■ Largely improved time resolution

•  $\Delta t_{\text{jitter}} \sim 970 \text{ ps} \rightarrow \sim 580 \text{ ps (ver.2)}$

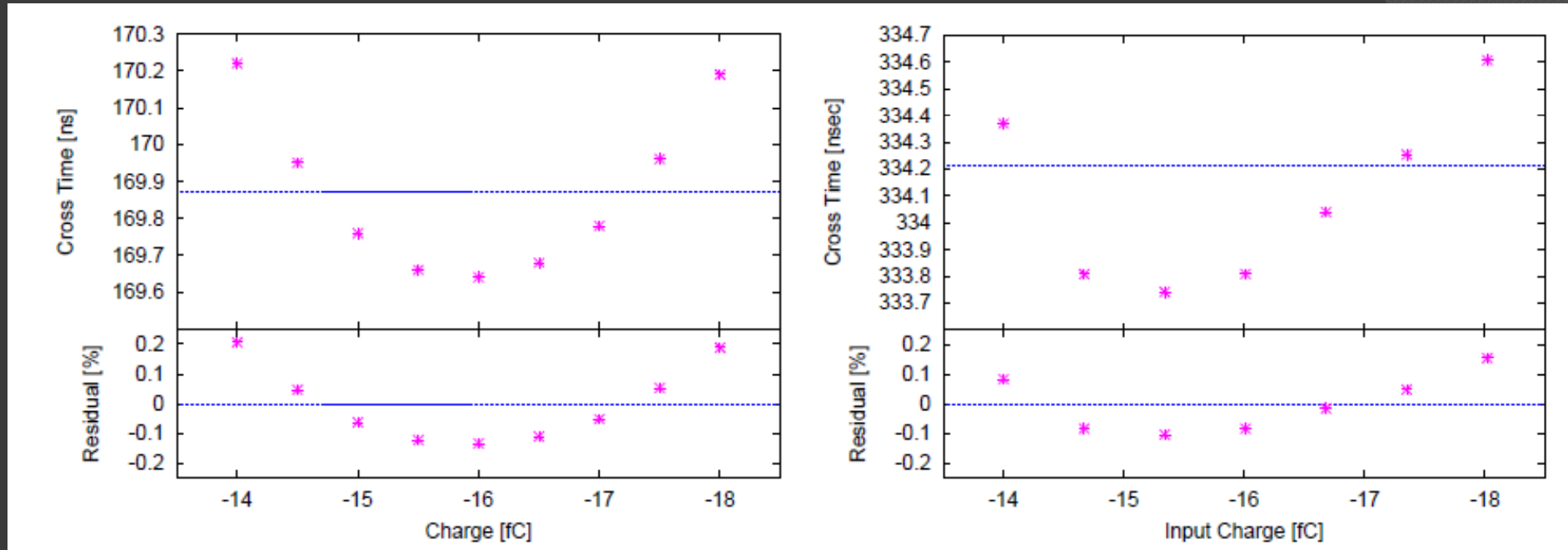
•  $\Delta t_{\text{walk}} \sim 600 \text{ ps} \rightarrow \sim 60 \text{ ps (ver.2)}$

■ Low Temperature Co-fired Ceramics (LTCC)  
Package is specially used.



LTCC package (KOA)

# Time walk



**Simulation**

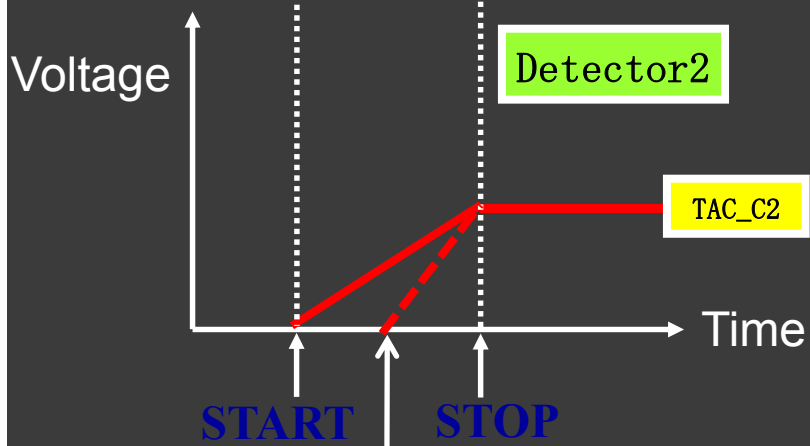
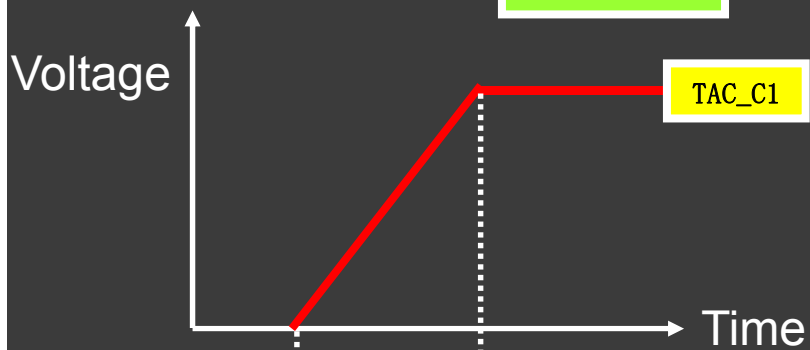
**600 ps (511 keV  $\pm$  12.5%)**

**Experimental**

**870 ps (511 keV  $\pm$  12.5%)**



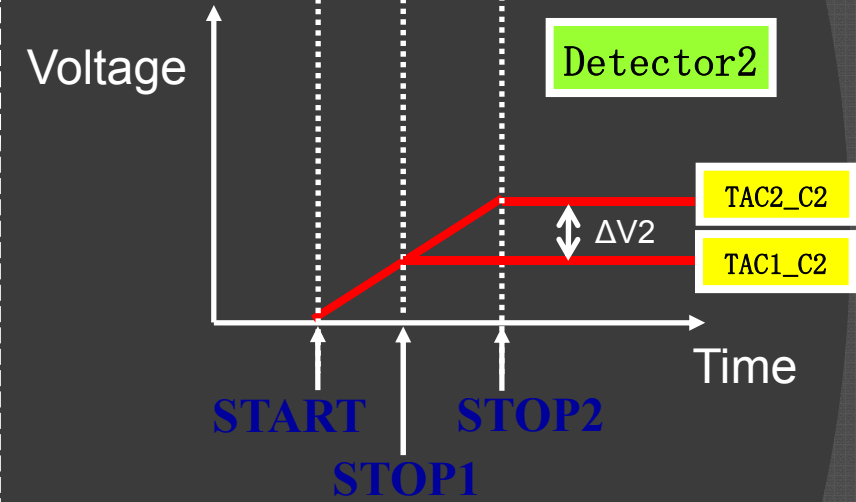
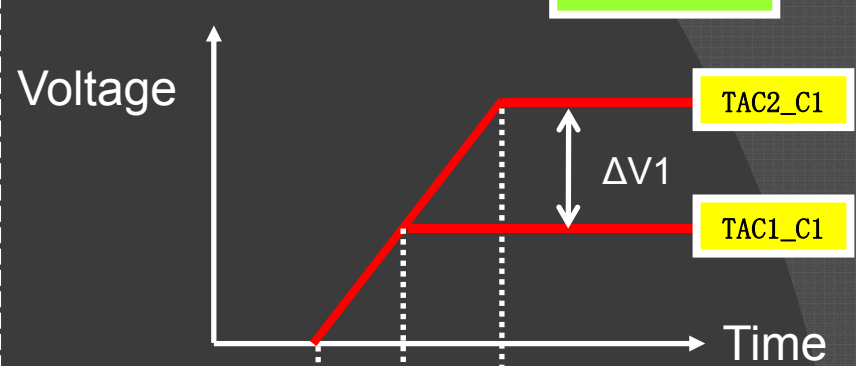
# NORMAL



TAC\_C1の傾きで校正⇒正しいSTART時間とズレる  
 検出器1と2でTACの傾きが異なる

⇒START時間を知るには**事前に**全てのチップの傾きを調べて校正の必要有  
 ・温度や電源電圧の変化でTACの傾き(電流オフセット)が変化すると**対応不可能**

# DOUBLE STOP



STOP信号を2回入力⇒2つのTACの電位差を常に測定

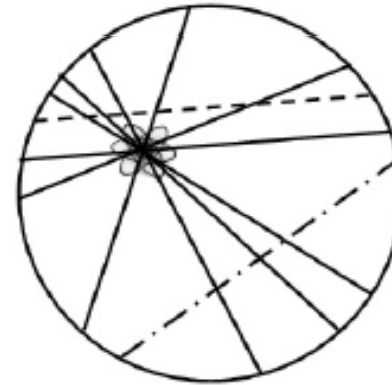
・STOP信号の入力時間間隔は一定  
 ⇒常にTACの傾きを測定  
 ⇒チップ毎に**リアルタイム補正**が可能  
 ・TAC1の線形性が悪い領域ではTAC2の電圧を参照⇒**不感時間回避**が可能

# TOFについて

- **Time-of-Flight型PET**は、感度を大幅に向上させる最先端の研究テーマ
- 放医研 村山グループ (澁谷さんほか) による **simulation**
- **400 psec** (~12cm相当) の **TOF** 情報があるだけで
- **PET** 画像は格段にクリ
- **2006**年に**PHILIPS**が実用化
- **LYSO**シンチレータ+**PMT**で時間分解能~**650 ps**

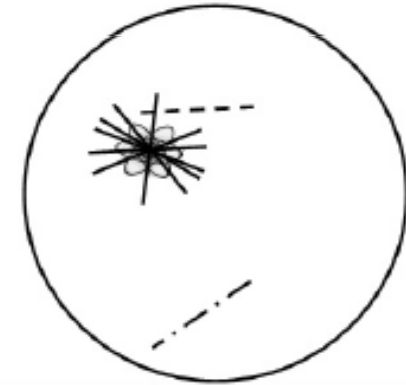
——— 真の同時計数  
- - - - 散乱同時計数  
- · - · 偶発同時計数

TOF情報無し

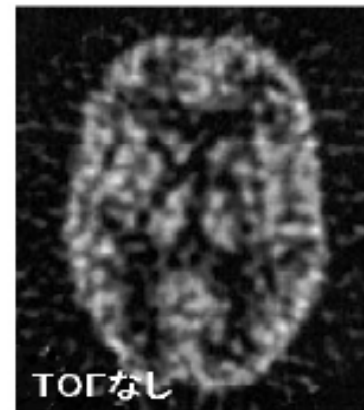


一様な書き込み

TOF情報あり

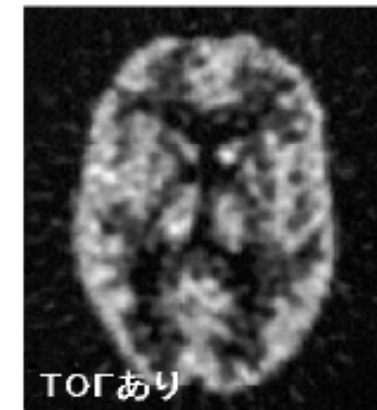


局所的な書き込み



TOFなし

ノイズの伝播が大

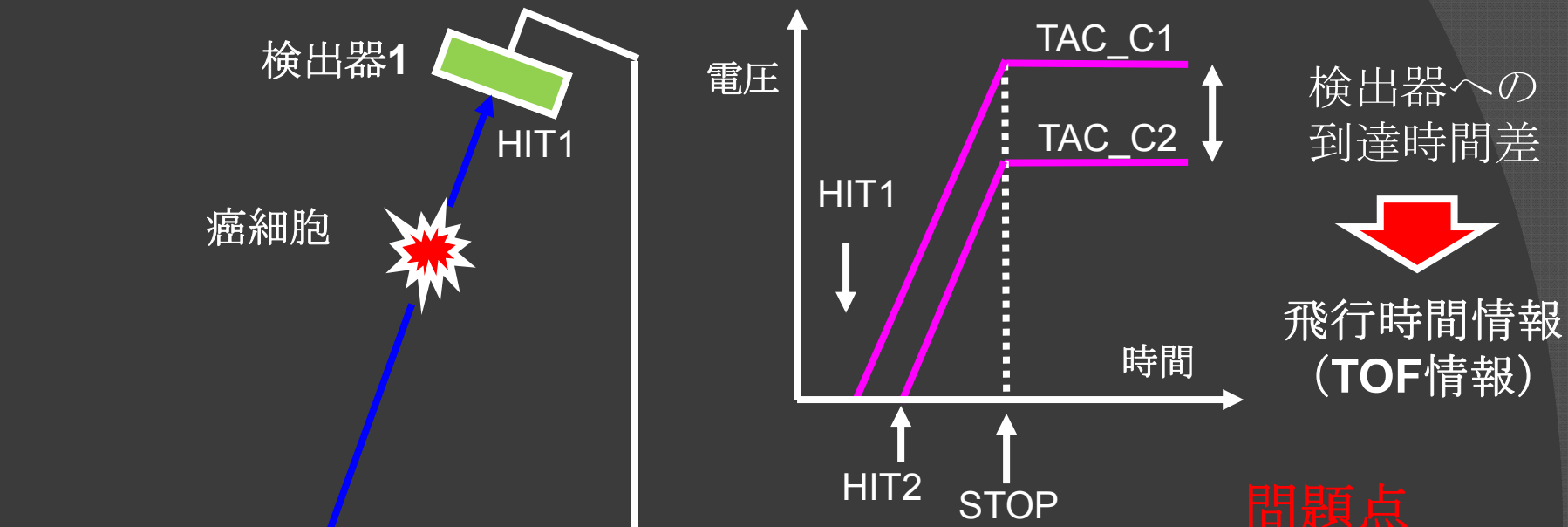


TOFあり

ノイズの伝播が小

# ガンマ線飛行時間測定の実理

TAC回路：START入力からSTOP入力までの経過時間に比例した電圧を出力



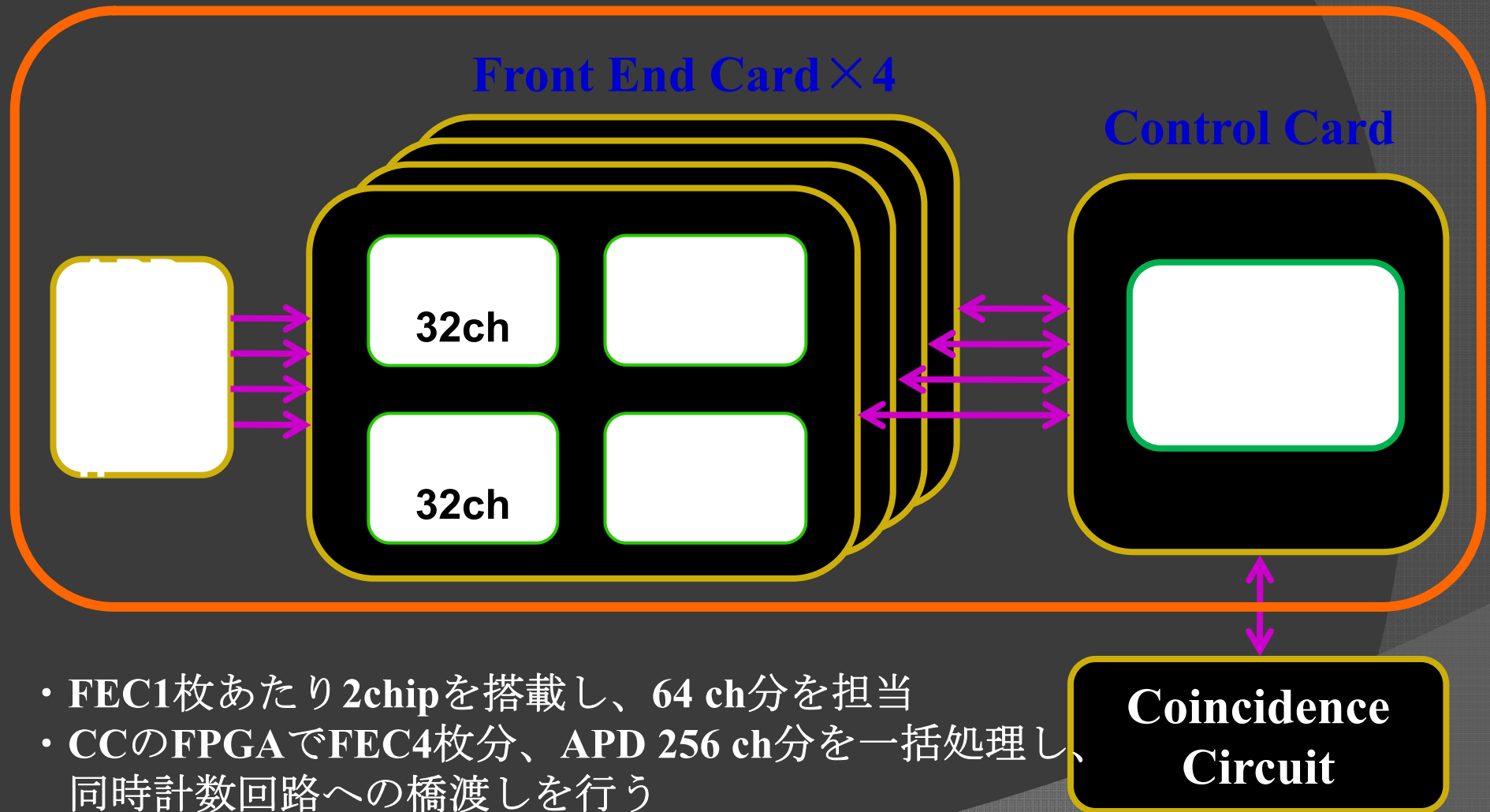
## 問題点

この図ではTAC1と2が全く同じ傾きを持っていることが前提  
⇒多数のLSIでは調整困難

TACを2系統用いた  
**ダブルストップ方式**の採用  
(池田博一教授発明の線形補間方式)

# APD-PET用LSIver.2 : PETシステム全体図

## Extended Mobile PET Unit



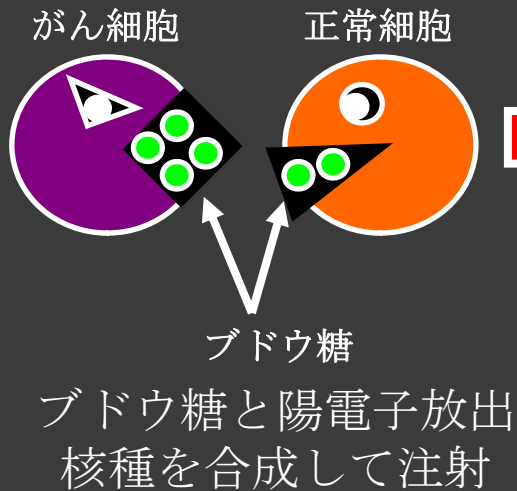
# PET = Positron Emission Tomography

⇒陽電子放出核種を用いた最新のがん検査法

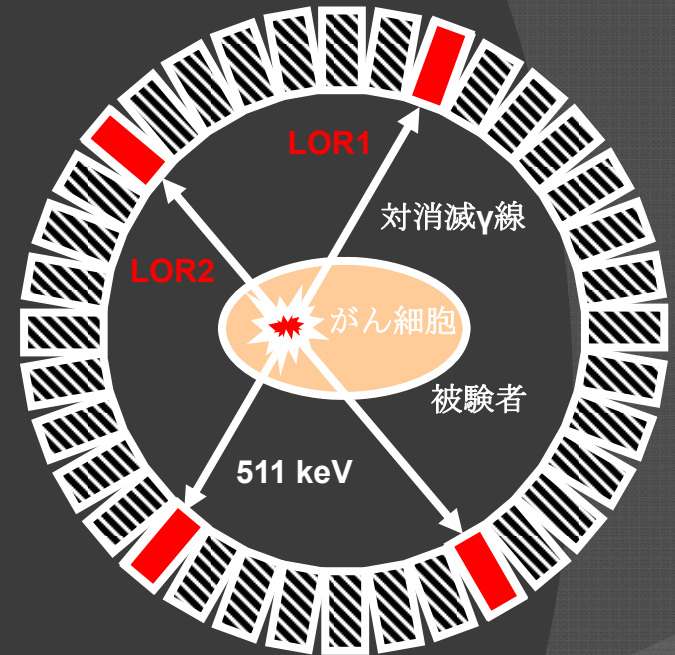
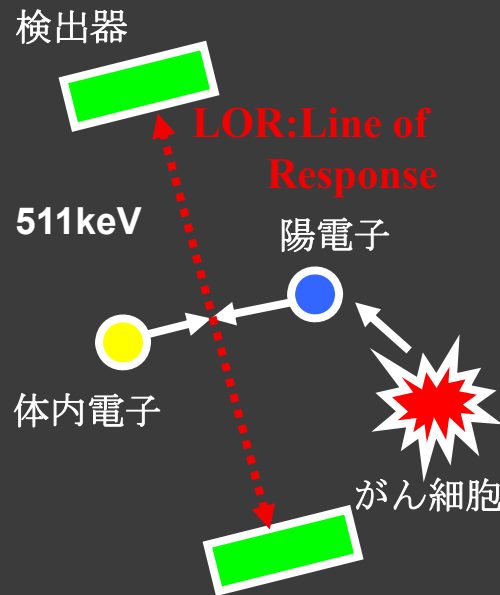
がん細胞は  
ブドウ糖が大好き

対消滅 $\gamma$ 線をキャッチ

がんの位置情報



FDG:フルオロデオキシグルコース

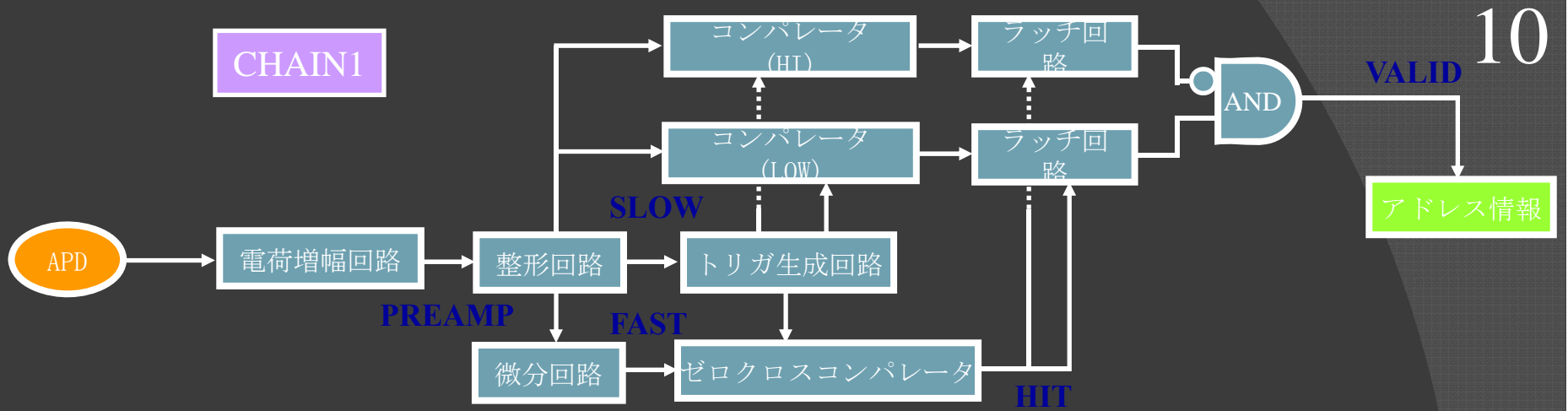


## PETの利点

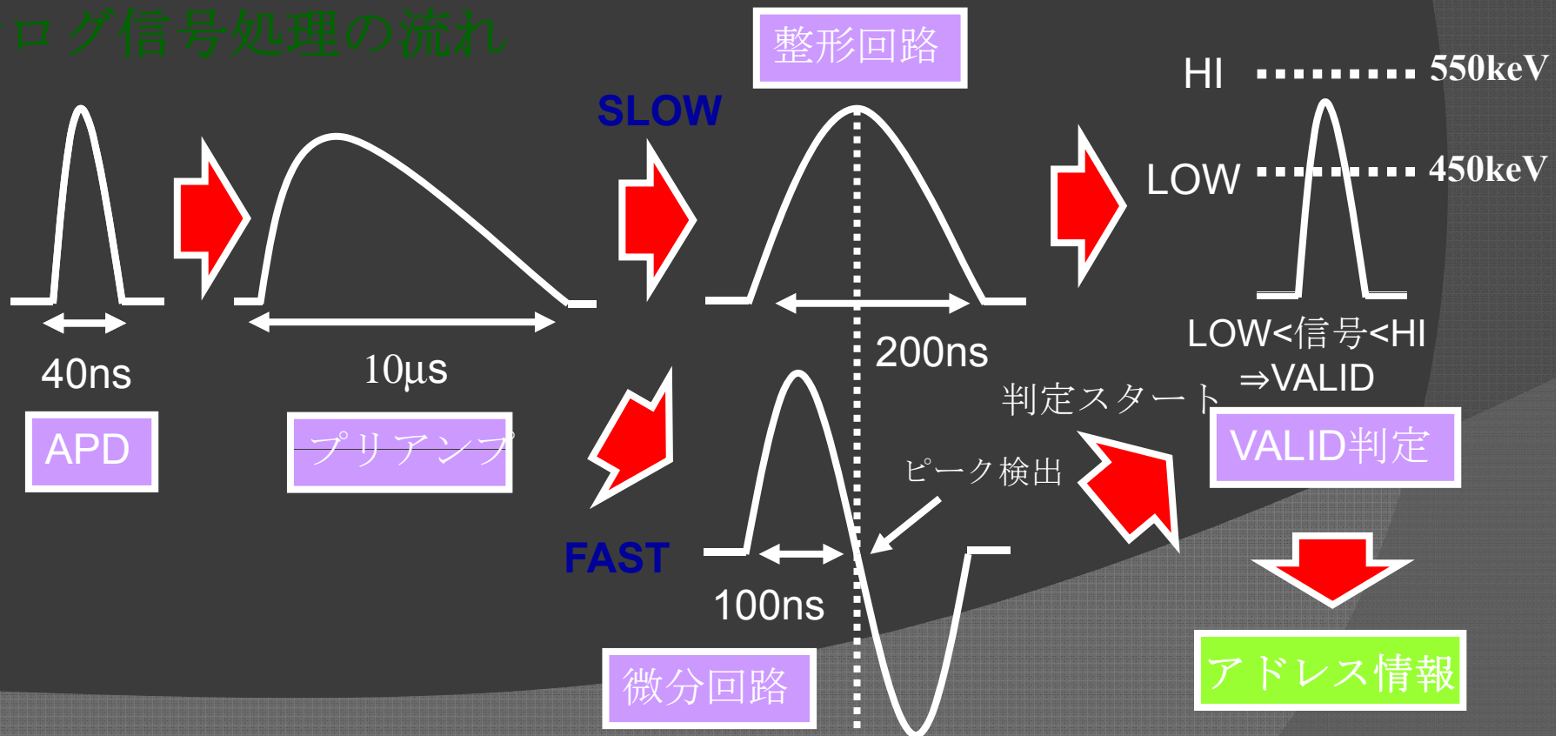
- ・ コリメータが不要 ⇒ 低被爆量
- ・ 癌の活動性/悪性度 ⇒ 機能画像
- ・ 全身を一度に検査 ⇒ 早期発見

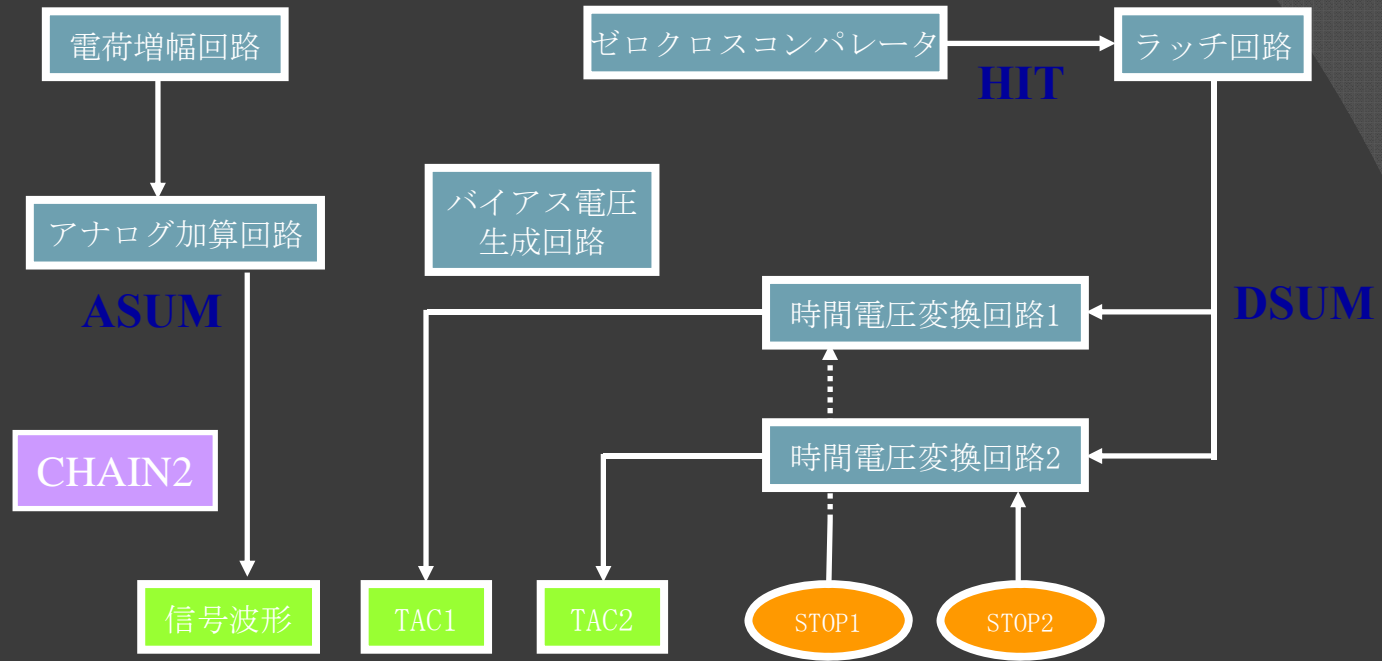
積極的に使いたい！  
しかし・・・





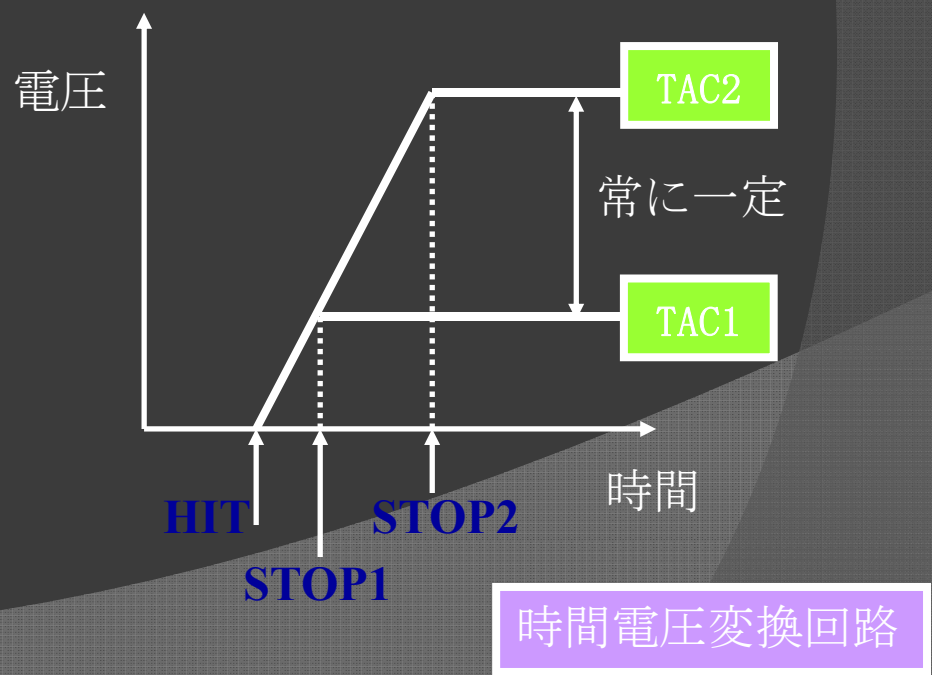
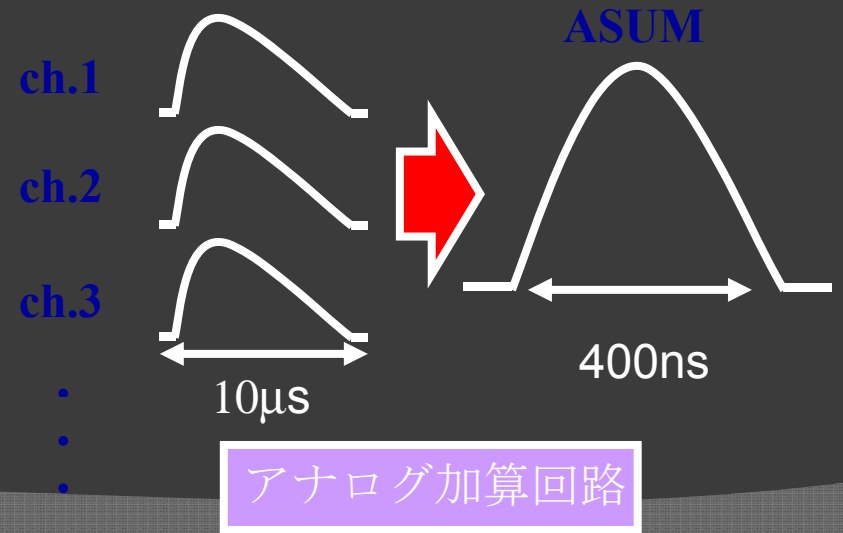
## アナログ信号処理の流れ





### 信号処理の流れ(CHAIN2)

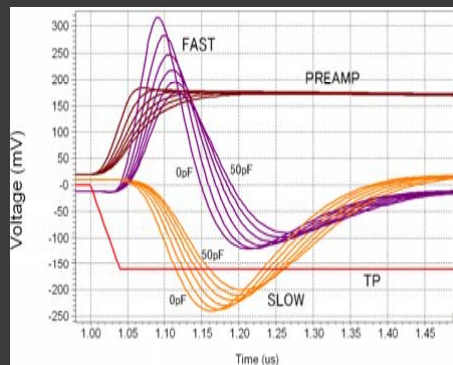
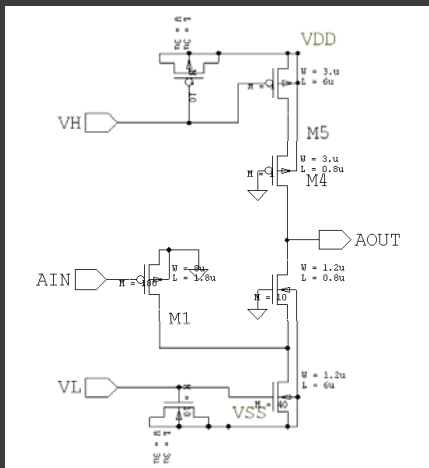
各プリアンプ出力



- ・多チャンネル化による信号数の増加⇒大規模な処理回路が必要
- ・新しい検出器であるAPDに対応したLSI⇒ほとんどない



## APD-PET 用LSIの発が必要



## LSI 発スール (ver.1)

計 (2006/10)

- ・ Open-IPを利用
- ・ 回路シミュレーション



レイアウト

- ・ シリコン上に回路をレイアウト

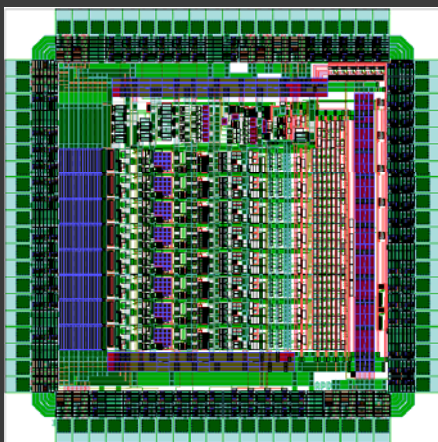


(TSMC)

- ・ アチップをパッケージング



(2007/5)

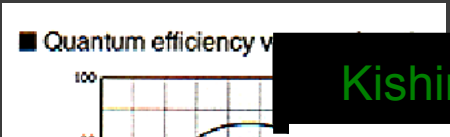


トータル8で成!

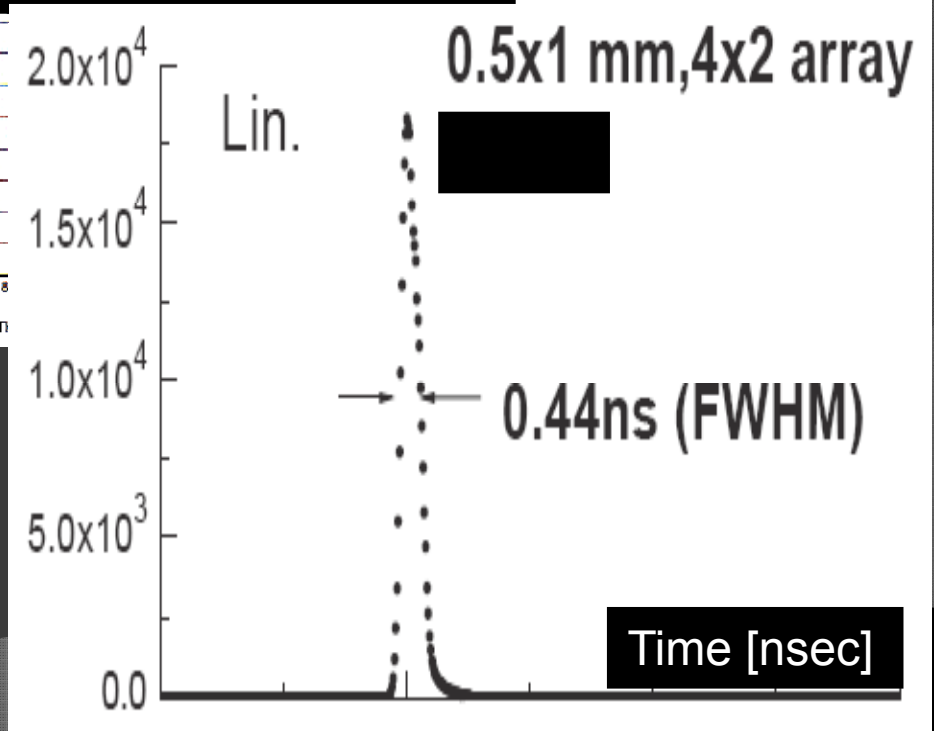
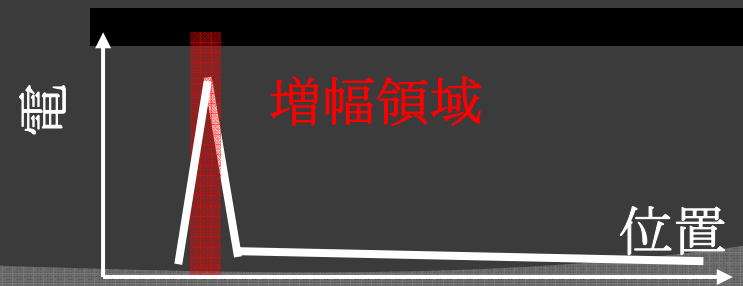
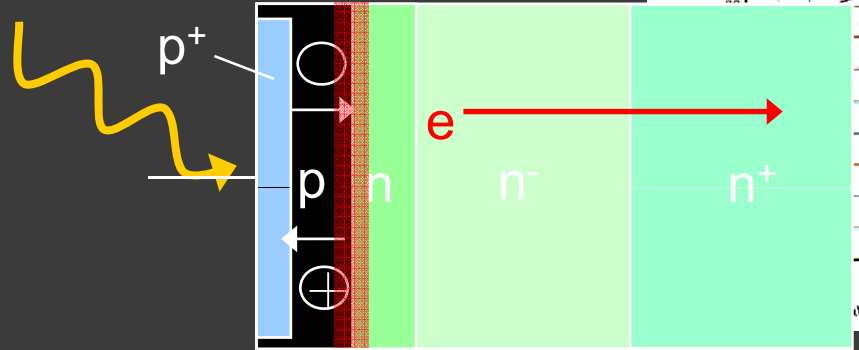
# 検出器： トクス APD

- 信号増幅する ( $G \sim 50-100$ ) フォトダイオード
- コンパクト、低消費電力、に
- 500-800 nm の波長域で量子効率  $80\%$
- 短い時間応答 (  $\sim 100$  ps )  $\rightarrow$  PMT+PD の代わりに

PMT+PD の代わりに

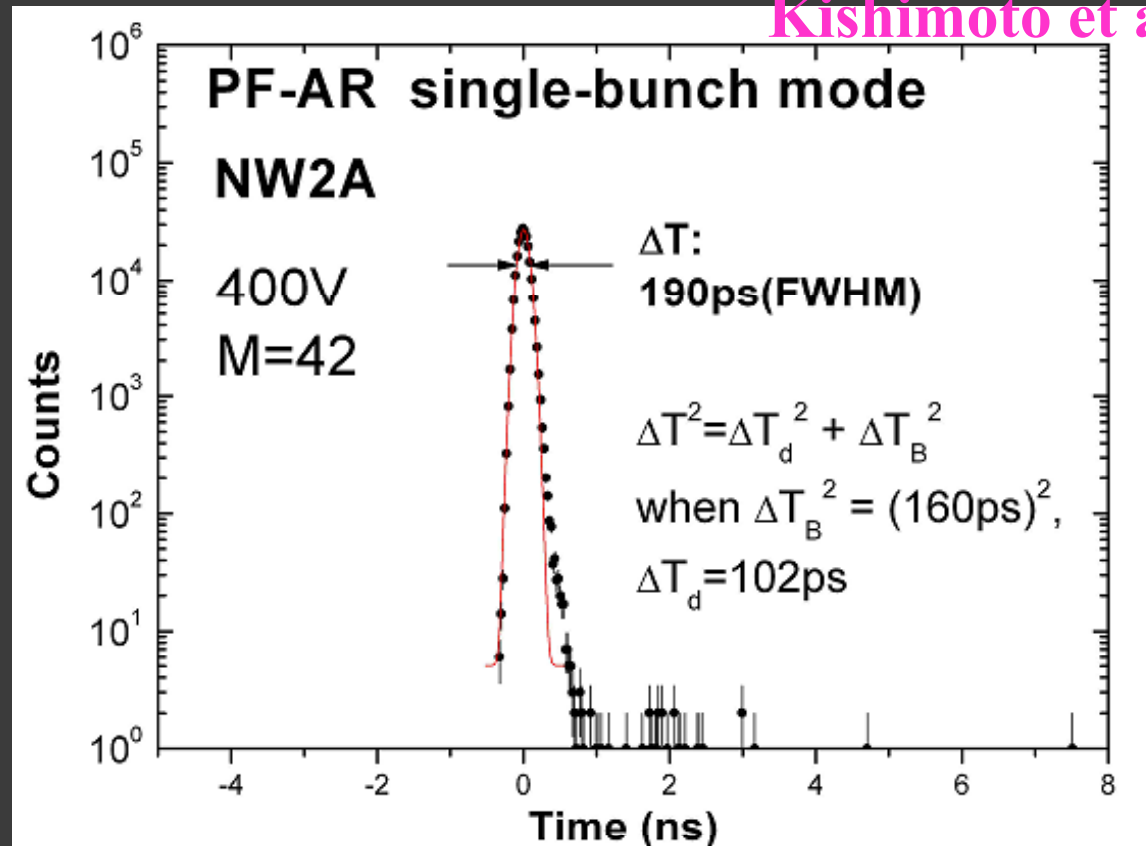


Kishimoto et al. 2003



# APDの時間 性 (TOFに向けて)

Kishimoto et al. 08



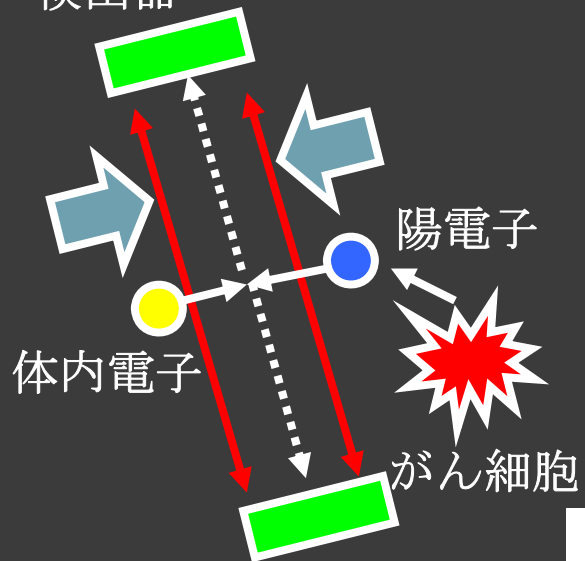
使用APD  
S8664-30N  
(リバーズ型)

- 研放射 (PF-ARリング)・シングルバンチでの測定 (BL-14A 先生の )  
→ APD 体としての時間応 は  $\Delta T = 102\text{ps}$



# PETの

検出器



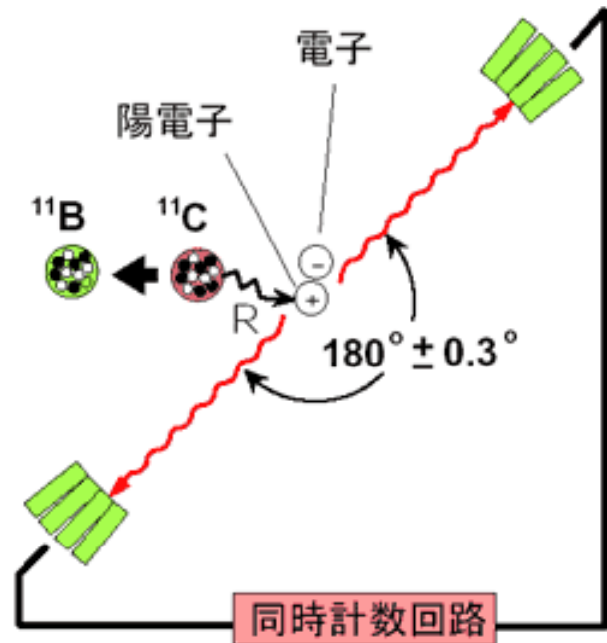
検出器の イズ

検出器間距離	誤差 (FWHM)
50 cm	1.5 mm
100 cm	3.0 mm

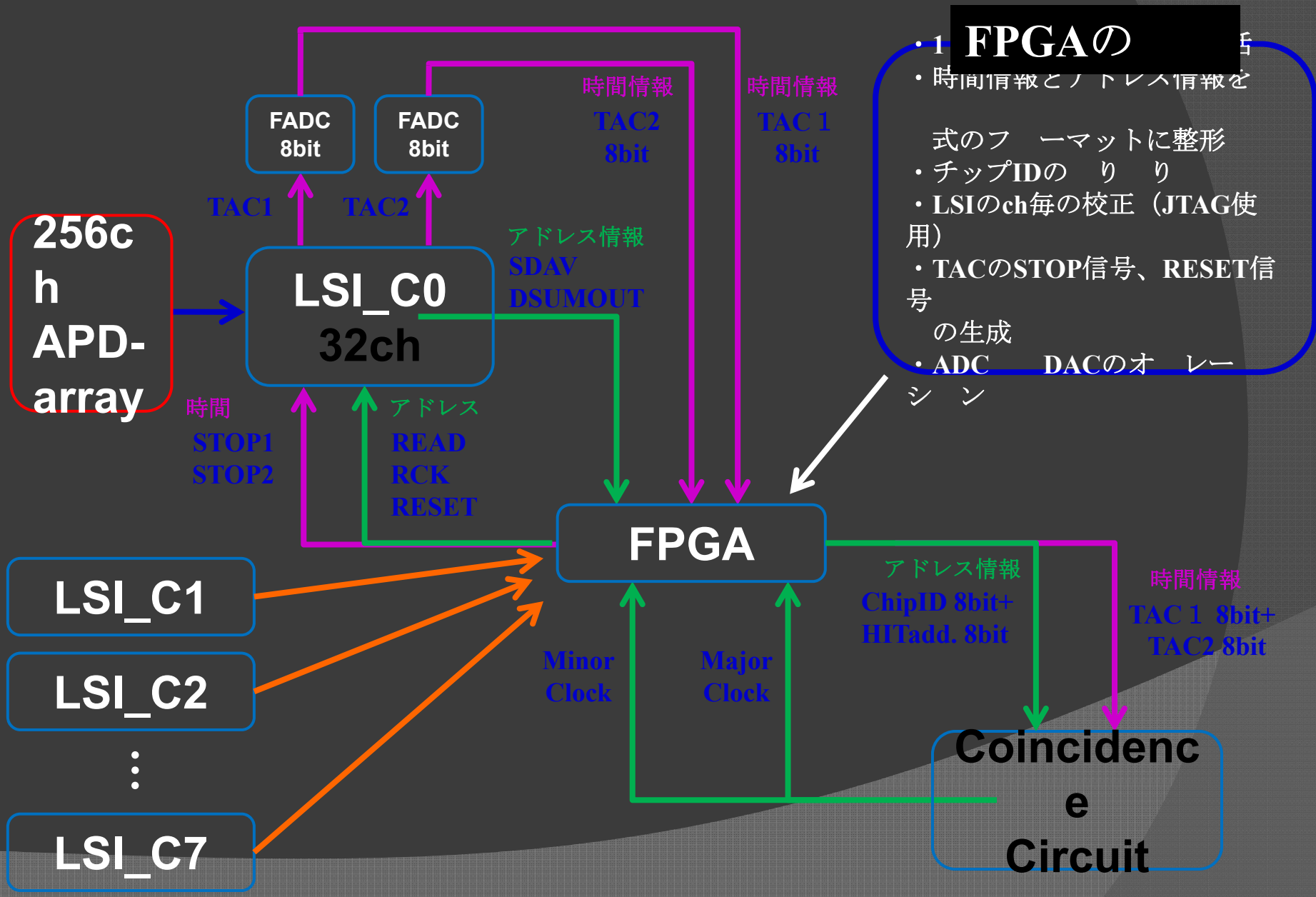
ガンマ線の 度 動

核種	陽電子の最大エネルギー (MeV)	誤差 R
$^{11}\text{C}$	0.961	0.28 mm
$^{13}\text{N}$	1.20	0.60 mm
$^{15}\text{O}$	1.73	1.1 mm
$^{18}\text{F}$	0.634	0.22 mm
$^{68}\text{Ga}$	1.90	1.4 mm

体内に ける陽電子の飛



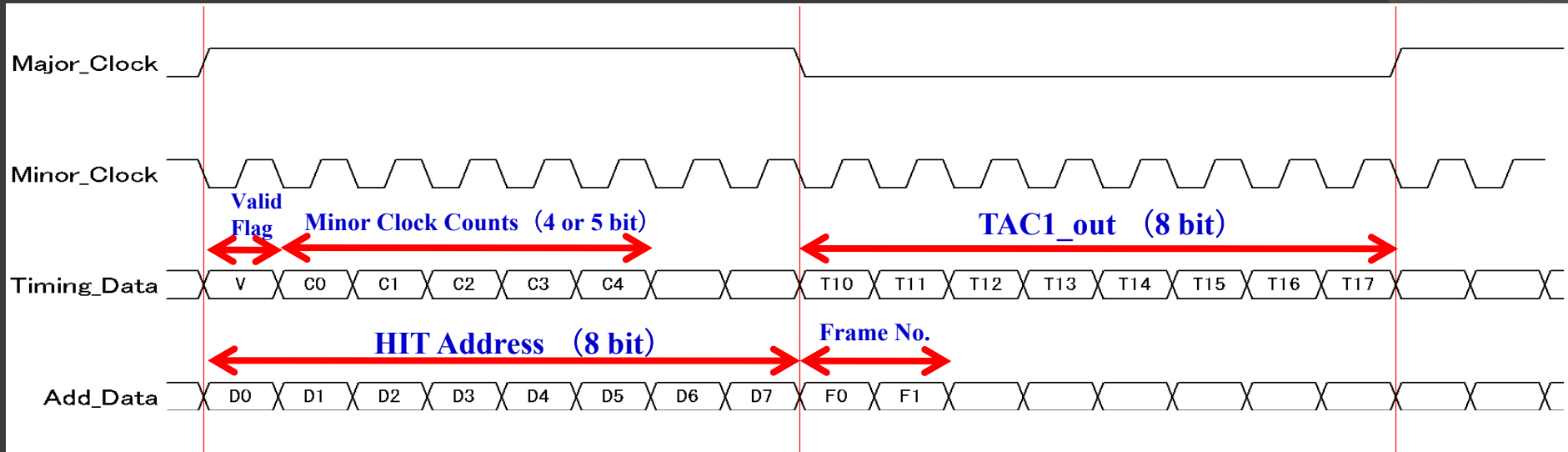
# APD-PET用LSIver.2 : PET ードでの信号の流れ



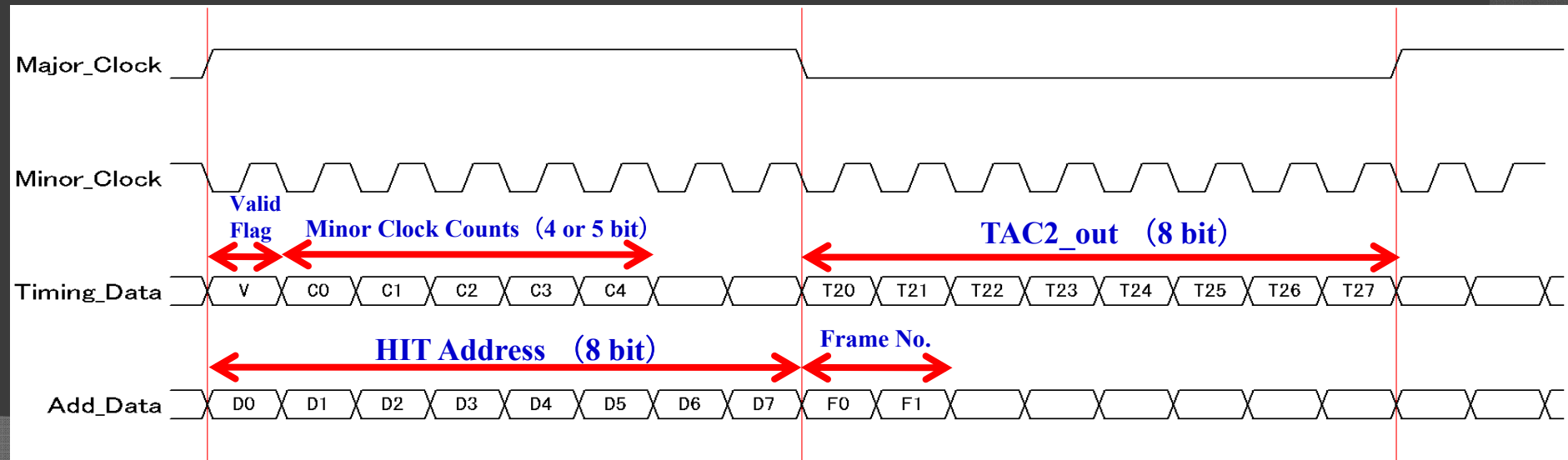
- FPGAの**
- 時間情報とアドレス情報を
  - 式のフォーマットに整形
  - チップIDの
  - LSIのch毎の校正 (JTAG使用)
  - TACのSTOP信号、RESET信号の生成
  - ADC DACのオー

# Coincidence Detector Input Format

## Frame 1

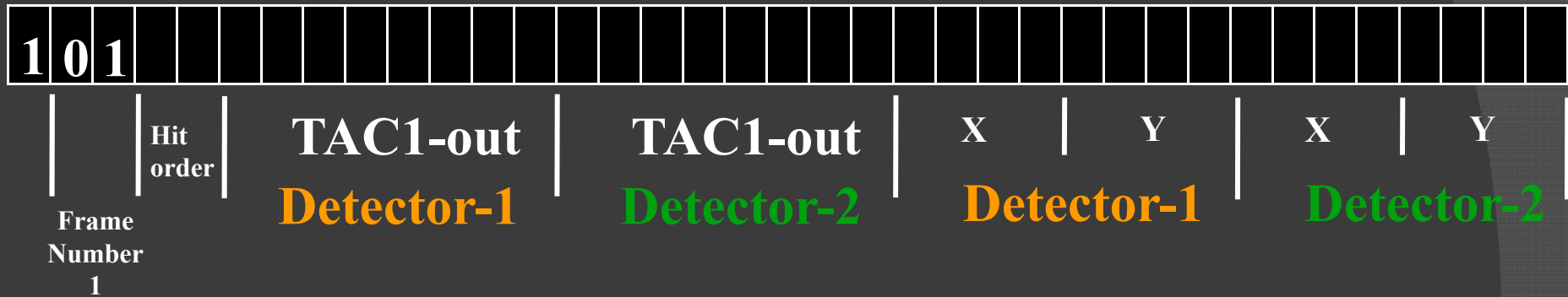


## Frame 2



# Coincidence Detector Output (IJ-data) Format

## Frame 1



## Frame 2

